

## Коррекция искажений, вносимых средой зазора «игла – биологическая поверхность» зондового микроскопа

### Аннотация

Рассматривается создание алгоритма компенсации искажающего действия слоя среды, заполняющей зазор «игла – биоповерхность», в технике исследования зондовой и атомно-силовой микроскопии (AFM). Предлагаемый нами алгоритм коррекции сигнала изображения основан на процедуре апостериорной обработки данных измерения и базовых положениях теории фильтрации и цифровой обработки изображений. Для созданной модели мы рассчитали среднеквадратическую ошибку восстановления, малое значение которой указывает на эффективность предложенного алгоритма улучшения качества изображения поверхности молекулярных биообъектов.

### Введение

Использование в медицине и биологии систем зондовой микроскопии предоставляет новые возможности изучения свойств биоматериалов, их наноразмерной структуры, молекулярной поверхности [1]-[3]. Именно наличие атомно-силовых микроскопов (англ. atomic-force microscope, AFM) и других модификаций сканирующих систем зондовой микроскопии позволяет вести интенсивные исследования молекулярного и атомного размеров природных и искусственных покрытий биологических объектов в последние годы [4]-[8].

Зондовая микроскопия является мощным информационным источником наблюдения структур молекулярного и атомного размеров. В ней, наряду с визуализацией изображения исследуемой поверхности биообъекта, извлекается необходимая информация об объекте, используемая затем для управления его параметрами [9]-[11]. Восстановление изображения молекулярных и атомного размеров биологических поверхностей невозможно [12] без качественного преобразования наблюдаемой структуры в сигнал. Качество преобразования изображения зависит от условий, метода наблюдения и других возможностей [12]-[15] зондовой системы изучения биологического объекта.

В плане повышения качества изображения особый интерес представляет коррекция влияния искажений сигнала при бесконтактном 3D-сканировании биообъекта в цепи передачи сигнала [2]-[6], [12] в условиях рассеивающей среды, заполняющей зазор «игла – поверхность». В [2]-[4], [12], [13]делено внимание решению этой задачи, способам устранения артефактов при 3D-сканировании и восстановлению искаженного изображения, в том числе рассеивающей средой [2], [8]. В частности, в работе [2] в предположении линейного влияния рассеивающей среды проведен анализ точности восстановления изображения в зависимости от типа объекта и свойств среды. Исследование показало, что учет влияния среды позволяет существенно улучшить качество изображения по сравнению с традиционными методами реконструкции.

Принцип измерения параметров поверхности объектов исследования молекулярного и атомного размеров, реализованный в AFM и других средствах сканирующей микроскопии, является поистине уникальным. Он основан на измерении степени потери устойчивости состояния равновесия иглой зонда под действием вынуждающей силы с фундаментально ограниченной точностью. Пространственное разрешение и точность измерения структуры поверхности в AFM в большой степени определяет геометрия игл, точнее, их острия [1]-[3]. Достижения наноразмерной углеродной технологии позволили улучшить показатели качества зондовой микроскопии: получить пространственное разрешение менее нанометра [6]. По данным [10], пока в единичных случаях, предельное пространственное разрешение систем зондовой микроскопии и AFM доведено до единиц ангстрема: 4 и 1,2 Å. В [1], [11] показано, что зонды обладают разрешением: 2...6 нм в плоскости поверхности и до

2 Å по вертикальной оси к ней. Эти показатели разрешения многократно достижимы и не являются исключением в обычной практике зондовой микроскопии.

В процессе обработки изображений, получаемых в зондовой микроскопии поверхности природных и искусственно создаваемых биообъектов, стремится достичь предельно возможной точности измерения [9]. Одним из факторов, мешающих повысить точность измерения, является искажающее действие среды, заполняющей зазор «игла – биоповерхность» в зондовой системе.

Рассмотрим особенности проведения измерений молекулярных структур сканирующими микроскопами. Во-первых, зондовые микроскопы в настоящее время – один из лучших инструментов проникновения в свойства структуры элементов молекулярного и атомного мира веществ – считаются уникальными объектами. Данные измерений, получаемые посредством систем зондовой и атомно-силовой микроскопии, также часто являются уникальными.

Во-вторых, ввиду уникальности, сингулярности и случайности параметров и свойств поверхности объекта исследования, получаемые данные не обладают достаточной статистикой, которая позволила бы их обобщить на соответствие той или иной статистической закономерности.

В-третьих, разделяющий иглу зонда и поверхность наблюдения тонкий слой среды в зазоре «игла – поверхность» является неизбежным элементом цепи формирования сигнала изображения AFM.

В итоге уникальность и сингулярность случайных свойств поверхности объектов исследования порождают трудности учета или исключения влияния отдельных факторов, которые прямо или косвенно ведут к искажениям изображения структур поверхности в реальном времени, получаемых в AFM. Это и определяет интерес к использованию программных средств и разработки алгоритмов апостериорной обработки данных измерения для улучшения точности изображения биообъектов, получаемого в зондовых микроскопах.

**Цель работы** – исследование возможности создания алгоритма компенсации искажающего воздействия среды на изображение, основанного на процедуре апостериорной обработки данных измерения, с использованием базовых положений теории фильтрации, где искажающим фактором служит среда зазора «игла – биоповерхность», случайно изменяющаяся во времени.

### Методы исследования. Основные положения

Методы исследования, представленные в данной статье, основаны на фундаментальных положениях теорий вероятности, случайных процессов, математической статистики, теории фильтрации и обработки изображений. В разрабатываемой модели системы зондовой микроскопии учитывается, что формирование сигнала изображения происходит в цепи «игла – среда зазора – биоповерхность». Искажающее действие среды, которая случайным образом заполняет зазор «игла – био-

поверхность», описывается сверткой исходного неискаженного сигнала изображения с импульсной характеристикой среды:

$$f(x, y) = \phi(x, y) \times h(x, y) = \iint \phi(x, y) h(x - \eta, y - v) d\eta dv, \quad (1)$$

где  $f(x, y)$  – искаженное средой промежутка изображение;  $\phi(x, y)$  – исходное неискаженное изображение;  $h(x, y)$  – импульсная характеристика искажающего зазора «игла – биоповерхность»;  $\times$  – знак операции «свертка»;  $\iint$  – двойной интеграл в пределах  $[-\infty; +\infty]$ ;  $\eta$  и  $v$  – сдвиг (искажение) координат  $x$  и  $y$ .

Формально существующую компоненту аддитивного шума в цепи формирования сигнала изображения мы в данном исследовании не учитываем по двум причинам: во-первых, она легко устраняется специальными методами, зависящими от конкретного типа источника шумового воздействия; во-вторых, чтобы не усложнять математическое описание алгоритма компенсации влияния среды зазора «игла – биоповерхность» на сигнал изображения.

Применимально к изображению импульсную характеристику элемента цепи передачи изображения принято считать функцией рассеяния точки (ФРТ). Для зазора «игла – биоповерхность», заполненного средой, ФРТ обычно получают из совокупности данных теоретических расчетов и статистических моделей, основанных на долговременных наблюдениях, а также путем прямых, непосредственных измерений, проводимых в процессе формирования сигнала изображения поверхности исследуемого объекта [1], [3]-[7].

В динамике движения иглы над неравномерностями рельефа поверхности биообъекта зазор «игла – биоповерхность» не остается постоянным, как это считается во многих моделях. Размер зазора, следовательно, и толщина слоя среды, которая его заполняет, меняются случайным образом в соответствии с изменением рельефа биоповерхности. Случайное изменение рассеивающих свойств слоя среды, заполняющей зазор «игла – биоповерхность» в реальном времени, вносит случайные искажения в формирование сигнала изображения АФМ. Эти динамически случайные искажения пространственно распределены.

Учитывая предельно малые размеры иглы зонда и противолежащего элемента поверхности, разделенных зазором «игла – биоповерхность», можно принять центр иглы несмещенным относительно центра противолежащего элемента. Тогда ФРТ полностью занимает этот элемент  $XY$  декартовой плоскости наблюдения. Заметим, что в общем случае ФРТ пространства зазора «игла – поверхность» несимметрична в плоскости перечного сечения.

С учетом принятого нами предположения отсутствия шума коррекция сигнала изображения АФМ сводится к нахождению импульсной характеристики системы восстановления сигнала, являющейся обратной по отношению к импульсной характеристике системы, вызвавшей его искажения [15]. Условие точного восстановления сигнала изображения в АФМ соответствует выполнению следующего равенства:

$$h(x, y) \times h'(x, y) = \delta(x, y), \quad (2)$$

где  $h'(x, y)$  – импульсная характеристика системы восстановления сигнала изображения;  $\delta(x, y) = 1(x, y)$  – единичная функция. На практике, из-за влияния многих факторов, идеальное получение равенства  $\delta(x, y) = 1(x, y)$  затруднено. Гораздо чаще получим  $\delta^*(x, y) \approx 1$ , где  $\delta^*(x, y)$  – некоторое приближение результата к идеальному решению  $\delta(x, y) = \delta^*(x, y)$ .

Уравнение (1), учитывающее искажающее действие зазора «игла – биоповерхность» в линейной модели цепи формирования сигнала изображения зондового микроскопа, в операторном представлении принимает вид

$$f = H \cdot \phi, \quad (3)$$

где  $H$  – линейный интегральный оператор цепи формирования изображения.

Если предположить, что существует оператор  $B$ , обратный по отношению к линейному оператору цепи формирования изображения  $H$ , такой, что

$$B = H^{-1}, \quad (4)$$

то, следуя уравнению (4), получим из уравнения (3) операторное уравнение следующего вида:

$$B \cdot f = \phi. \quad (5)$$

Операторное уравнение (5) следует понимать как уравнение относительно неизвестной функции  $f$  при известных параметрах оператора восстановления сигнала изображения  $B$  и функции  $\phi$ . При заданных начальных условиях  $f|_{(0,0)} = f_0$  операторное уравнение (5) должно иметь единственное решение. Оператор восстановления сигнала  $B$  своими параметрами полностью характеризует линейную систему формирования неискаженного изображения из искаженного в цепи зазора «игла – биоповерхность» [3].

## Результаты

Таким образом, операторные уравнения (3)-(5) позволяют по известным входу и выходу линейной зондовой системы определять параметры искажающего воздействия и восстанавливать сигналы изображения с разной степенью искажений относительно выбранного эталона. Алгоритм восстановления, описываемый уравнениями (3)-(5), апробирован на практике осуществлением коррекции линейной модели фазовых искажений волнового фронта лазерного пучка в системе с обратной связью [5]. Приведенное в работе [5] экспериментальное апробирование действия алгоритма в реальном времени по эталону осцилляций иглы зонда и фазовых искажений лазерной волны показывает высокую эффективность компенсации искажений линейной модели.

Коррекция искажающего действия среды, динамически заполняющей зазор «игла – биоповерхность», даже в линейной цепи формирования сигнала зондового микроскопа имеет существенные отличия от идеальной передачи. Отсутствие эталона и случайность параметров поверхностей биообъектов приводят к тому, что условие (2) точного восстановления сигнала в АФМ становится трудновыполнимым. В отсутствие эталона условие восстановления сигнала изображения (2) превращается в неравенство:

$$h(x, y) \times h'(x, y) = \delta(x, y) < 1(x, y).$$

В этом случае, при заданной импульсной характеристике искажающей среды как фильтра, коэффициенты фильтра  $\gamma_{rs}$  находят решением уравнения идентификации

$$B h(x, y) = \delta(x, y). \quad (6)$$

В дискретном представлении  $h_{ij}$  и  $\delta_{ij}$  определяются на равномерном квадратном  $M \times M$  формате разбиения элемента изображения  $i = -M \dots M; j = -M \dots M; \delta_{ij} = [1, i = j = 0; 0$  в остальных случаях, когда  $i \neq j \neq 0, i = j \neq 0$  и т. д.]. При заданном начальном условии  $h(x_0, y_0) = h_0$  уравнение (6) имеет единственное решение.

Применив к дискретному представлению уравнения идентификации (6) двумерное  $z$ -преобразование, получим

$$B(z_1, z_2)H(z_1, z_2) = 1.$$

Отсюда находим передаточную характеристику искажающего воздействия

$$H(z_1, z_2) = 1 / B(z_1, z_2). \quad (7)$$

Применяя преобразования (1)-(6) к уравнению (7), получим выражение импульсной характеристики искажающей среды вида рекурсивного фильтра

$$h_{ij} = \delta_{ij} - \sum \gamma_{rs} h_{i-r, j-s} \text{ для } (r, s) \neq (0, 0), \quad (8)$$

а условие восстановления изображения – вида нерекурсивного фильтра

$$\delta_{ij} = \sum \gamma_{rs} h_{i-r, j-s}.$$

Для определения коэффициентов  $\gamma_{rs}$  следует минимизировать сумму

$$\Sigma[\delta'_{ij} - \Sigma\gamma_{rs} h_{i-r, j-s}]^2 > \min(\gamma_{rs}). \quad (9)$$

Применяя метод наименьших квадратов, получим систему линейных уравнений, из решения которой найдем требуемые коэффициенты фильтра  $\gamma_{rs}$ .

Для минимизации погрешности решения уравнения (6) импульсная характеристика искажающего слоя среды  $h_{ij}$  должна содержать в выражении (9) как можно большее число дискретных отсчетов. В идеале их число должно быть бесконечным. Реально достаточно того, чтобы импульсная характеристика, заданная дискретными отсчетами, соответствовала  $\sim 0,9$  от желаемой [15].

Выбор порядка уравнения оператора коррекции в уравнениях (4), (5) основан на следующем. Во-первых, желателен учет априорной информации о характере искажающего действия среды. Например, импульсная характеристика рассеивающей среды зазора «игла – биоповерхность» как элемента цепи формирования сигнала изображения может быть представлена [14] экспонентой с показателем первой степени  $h \sim \exp(-x)$ . Тогда это – линейный оператор. Во-вторых, если нужно повысить точность решения уравнения (6), то следует выполнить итерацию по увеличению порядка уравнения оператора.

Подводя итог проделанной работе, отметим следующее.

Первый момент: искажение изображения, вносимое средой «игла – биоповерхность» из-за запаздывания формирования и передачи сигнала изображения, характеризуется откликом бесконечной длины. Мы описываем его посредством рекурсивного фильтра с бесконечной импульсной характеристикой. При этом синхронность процессов искажения и коррекции с достаточной точностью описывает выражение (8).

Второй момент: на искажения изображения средой зазора «игла – поверхность» мы не можем повлиять, так как зазор является элементом цепи формирования сигнала изображения. С точки зрения устойчивости рекурсивной фильтрации, можно предположить, что устойчивому процессу коррекции искажений соответствует устойчивый рекурсивный фильтр.

Точность апостериорной коррекции изображения, искаженного действием среды зазора «игла – поверхность», можно оценить количественно. Проведя некоторые математические преобразования, получим величину  $\varepsilon$  среднеквадратической ошибки (СКО) коррекции изображения вида

$$\varepsilon^2 = [\Sigma(\delta'_{ij} - \delta_{ij})^2] / (2M + 1 - 2p)^2,$$

где  $\delta'_{ij}$  – оценка импульсной переходной характеристики рассеивающей среды зазора «игла – поверхность»;  $\delta_{ij}$  – импульс-

ная характеристика искажающей среды как рекурсивного фильтра;  $\Sigma$  – суммирование невязки ( $\delta'_{ij} - \delta_{ij}$ ) по всем  $ij$ ;  $p$  – порядок оператора восстановления. Изменение этой среднеквадратической ошибки (СКО), нормированной на  $\Sigma(\delta'_{ij} - \delta_{ij})^2$ , показано на рис. 1.

Отметим принципиальную особенность алгоритма апостериорной обработки изображения биообъектов в зондовой микроскопии. Синхронное действие молекулярных и межатомных сил в зазоре «игла – биоповерхность» на вязкоупругую поверхность биологического объекта может влиять на структуру и форму изучаемой поверхности [1], [5]. Известные алгоритмы апостериорной обработки изображения биообъектов в зондовой микроскопии не учитывают деформацию поверхности в зазоре в динамике движения.

Потому учет случайной и вероятностной деформации исследуемой биоповерхности необходим для повышения точности зондовой системы.

## Заключение

Исследована возможность апостериорного восстановления характеристик изображения биоповерхности путем коррекции искажающего действия среды, заполняющей зазор «игла – биоповерхность» в АФМ. Основой коррекции служит измеренный сигнал 3D-изображения АФМ. При интерпретации сигнала изображения учтены аспекты образования сигнала и искажающее действие среды в зазоре «игла – биоповерхность», имеющее вероятностную природу. Результаты применимы в атомно-силовой, емкостной и другой зондовой (АФМ, ТЕМ, СЕМ, АЭМ) микроскопии для численных оценок и улучшения качества изображения молекулярных биологических структур.

## Список литературы:

1. Cai J. Atomic Force Microscopy in Molecular and Cell Biology. – Singapore: Springer Singapore, 2018.
2. Tereshchenko S.A., Lysenko A. Y. Investigation of the scattering influence on the quality of image reconstruction in single-photon emission computed tomography in a proportional scattering medium // Biomedical Engineering. 2020. Vol. 53. PP. 370-374.
3. Deeva V.S., Slobodyan S.M. Mathematical modeling of the interaction between a single-walled nanotube tip and a biological surface // Biomedical Engineering. 2020. Vol. 54. PP. 51-55.
4. Shcherbina K.K., Golovin M.A., Suslyev V.G., Marusin N.V., Yankovski V., Zolotukhina M. An electronic geometric model for 3D scanning of human body segments and its use in prosthetics and orthotics. Causes of defects and methods for their elimination // Biomedical Engineering. 2020. Vol. 54. PP. 130-134.

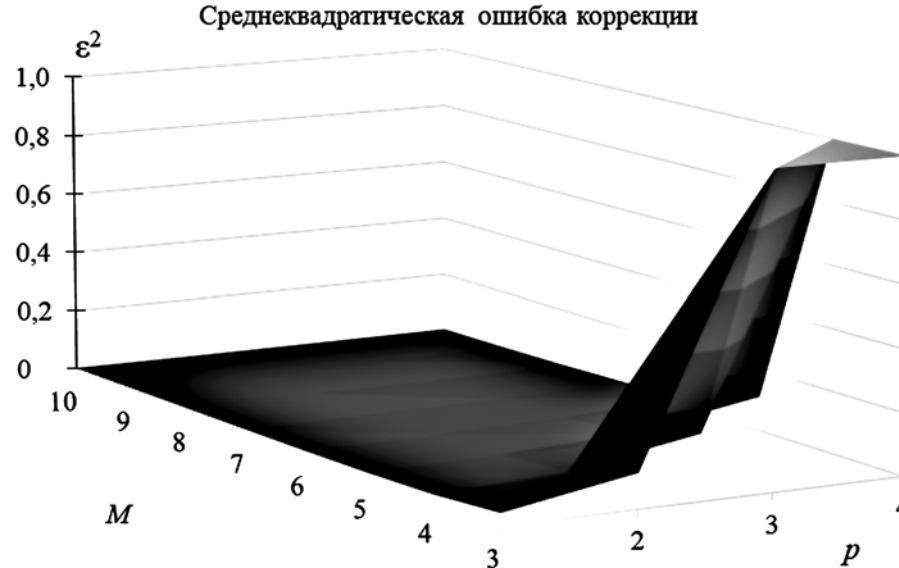


Рис. 1. Изменение нормированной среднеквадратической ошибки коррекции в зависимости от формата разбиения элемента изображения  $M$  и порядка уравнения оператора восстановления  $p$

5. Deeva V., Slobodyan S. Mathematical model of tip oscillations: Influence on image quality // Applied Surface Science. 2020. Vol. 516. P. 146144.
6. Schwiller P. There and back again: From the origin of life to single molecules // European Biophysics Journal. 2018. Vol. 47. PP. 493-498.
7. Ozer H.O. Atomic resolution force imaging through the static deflection of the cantilever in simultaneous scanning tunneling/atomic force microscopy // Ultramicroscopy. 2019. Vol. 196. PP. 54-57.
8. Shestakova V.G., Vetrov A.N., Dmitriev G.A. Assessment of skin wound healing by digital image analysis // Biomedical Engineering. 2020. Vol. 53. PP. 402-406.
9. Cho Y., Shin N., Kim D., Park J., Hong S. Nanoscale hybrid systems based on cnt for biological sensing and control // Bioscience Reports. 2017. Vol. 37. PP. 3-30.
10. Zhang B., Liu Y., Chen Q., Lai Z., Sheng P. Observation of high  $T_c$  one dimensional super conductivity in 4 angstrom carbon nanotube arrays // AIP Advances. 2017. Vol. 7. P. 025305.
11. Heath G.R., Scheuring S. High-speed AFM height spectroscopy reveals  $\mu$ s-dynamics of unlabeled biomolecules // Nature Commun. 2018. Vol. 9. PP. 1-11.
12. Caplins B., Holm J.D., Keller R. Transmission imaging with a programmable detector in a scanning electron microscope // Ultramicroscopy. 2019. Vol. 196. PP. 40-48.
13. Wagner T. Steady-state and transient behavior in dynamic atomic force microscopy // Journal of Applied Physics. 2019. Vol. 125. P. 044301.
14. Burke P.J. An RF circuit model for carbon nanotubes // IEEE Transaction of Nanotechnology. 2003. Vol. 2. PP. 55-58.
15. Gonzalez R., Woods R. Digital Image Processing. – Pearson, 2018. 1192 p.

Вера Степановна Деева,  
канд. техн. наук, доцент,  
школа инженерного предпринимательства,  
ФГАОУ ВО «Томский  
политехнический университет»,  
г. Томск,  
Степан Михайлович Слободян,  
д-р техн. наук, профессор,  
кафедра материаловедения,  
ФГБОУ ВО «Тверской  
государственный технический университет»,  
г. Тверь,  
e-mail: sms\_46@ngs.ru

**А.И. Ахметова, В.М. Гукасов, Ю.Л. Рыбаков, И.В. Яминский**

## **Быстродействующая сканирующая зондовая микроскопия в биомедицине**

### **Аннотация**

Статья посвящена сканирующей зондовой микроскопии и ее эффективному применению в медицинских целях. Приведены обзор возможностей и перспективы использования полученных при помощи зондовой микроскопии результатов в биомедицине. Описаны принципы измерений и преимущества по сравнению с другими методами диагностики, такими как оптическая микроскопия высокого разрешения и электронная микроскопия.

### **Введение**

Сканирующая зондовая микроскопия (СЗМ) – это мощная многофункциональная исследовательская платформа, которая позволяет визуализировать биологические объекты и манипулировать ими [1]. У СЗМ имеется широкий арсенал наблюдаемых объектов – от отдельных молекул до живых клеток и тканей. Вскоре после изобретения прибора стало понятно, что для улучшения возможностей визуализации в биологии потребуются новые технологические разработки для устранения определенных ограничений метода. Это привело к созданию различных режимов визуализации, которые продолжают расширять возможности этой техники сегодня. Для биологических систем СЗМ дает много полезной информации, которую невозможно получить другими методами. Помимо получения данных о морфологии поверхности, при помощи СЗМ исследуют механические свойства биологических систем. Это важно, потому что соответствующие клеточные функции зависят от их механических свойств. Исследование вязкоупругости неопухолевых клеток и тканей молочной железы показало, что они менее деформируются по сравнению с раковыми клетками и злокачественными тканями молочной железы [2] [3]. Таким образом, больные клеточные системы демонстрируют измененные механические свойства.

**Цель нашей работы** – это практическое внедрение инструментальных методов сканирующей зондовой микроскопии в медицинскую технику для визуализации с высоким пространственным разрешением и исследования структуры, механичес-

ких, электрофизических и электрохимических свойств биологических объектов – вирусов, бактерий, клеток высших организмов – и определение реакции биообъектов на внешние воздействия.

### **Материалы и методы**

В объединенной лаборатории бионаноскопии (физический и химический факультеты МГУ имени М.В. Ломоносова и Центр перспективных технологий) при помощи зондовой микроскопии реализуются исследования биополимеров, их морфологии и конформации, проводятся эксперименты по определению антибиотикорезистентности бактерий, а также по раннему обнаружению биологических агентов (вирусов и бактерий) и т. д. Другими перспективными направлениями в зондовой микроскопии являются адресная доставка биомакромолекул, 3D-биопечать и создание молекулярного принтера, что имеет большой потенциал для применения в медицинских целях. При помощи зондовой микроскопии возможна визуализация биологических объектов в естественных средах в движении с высокой разрешающей способностью без нарушения их функций. СЗМ позволяет получать информацию о функционировании клеточных систем, а также измерять последствия воздействия на клетки от применения реагентов, лекарств, при механических повреждениях.

Уникальной способностью СЗМ является визуализация структуры поверхности с высоким разрешением, вплоть до атомного масштаба. Эта способность прибора постоянно совершенствуется, и новые инструментальные методы помога-